



MS-9205

Aspecto general de los depósitos conglomeráticos del Aragoniense (Mioceno medio).



MS-9206

Detalle de la anterior.



MP-9207

Alternancia de mármoles y rocas de silicatos cárnicos ple-
gada por pliegues tardíos.

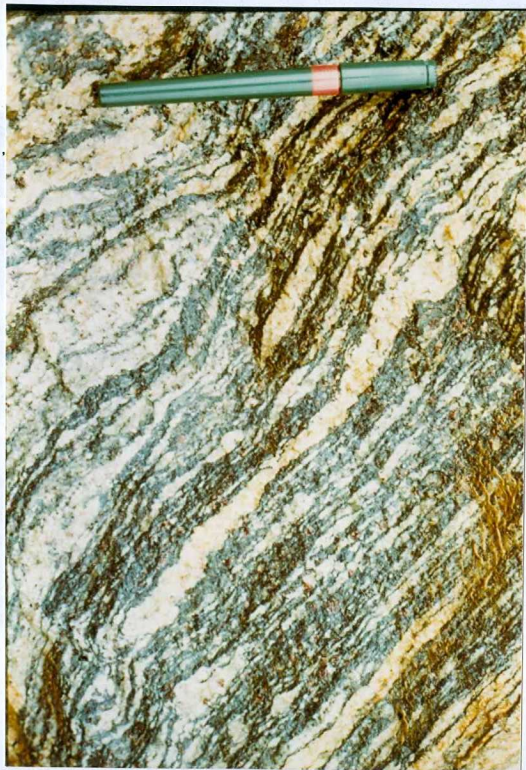


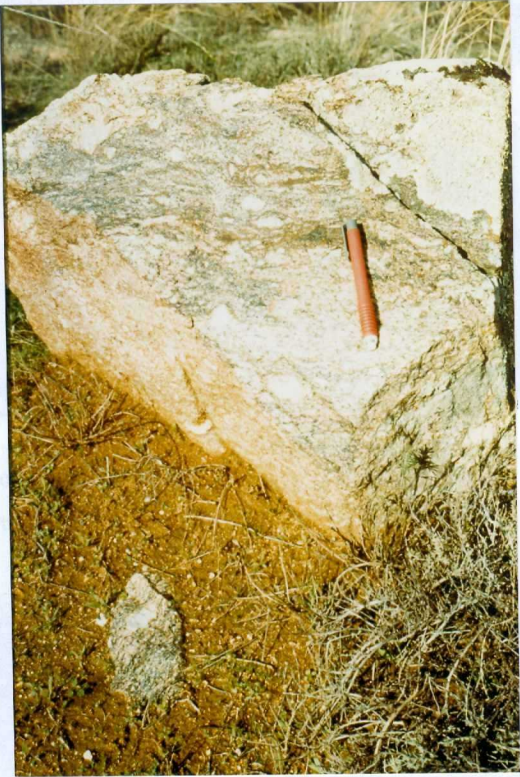
MP-9208

Pliegues apretados con charnelas disruptadas posiblemente de D2, afectando al afloramiento anterior. Sector NE de la Hoja.

MP-9209

Metasedimentos migmatizados con abundante granate y removilizados cuarzo-feldespáticos.





MP-9219

Ortoneis metagranítico glandular.



MP-9220

Ortöneis metagranítico glandular.



MP-9221

Ortöneis metagranítico glandular.



MP-9222

Ortöneis metagranítico glandular, con numerosos granates, migmatizado.



MP-9223

Ortomeis metagranítico glandular.



MP-9224

Ortöneis metagranítico glandular, muy migmatizado.



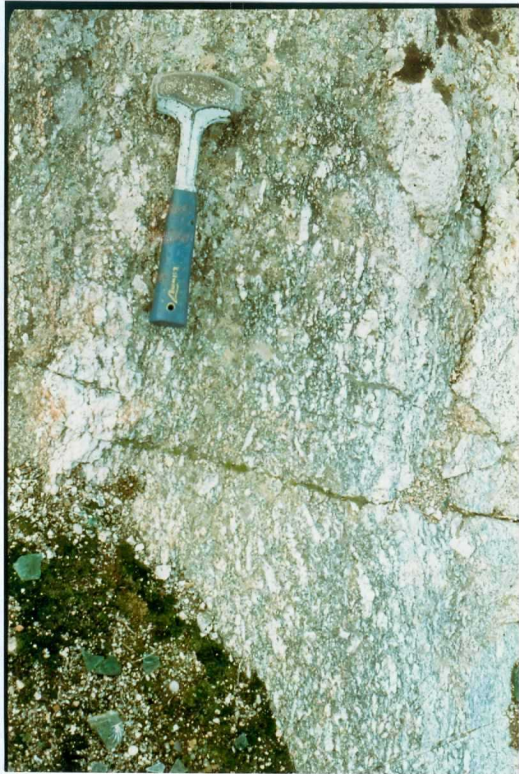
MP-9225

Granitoide sincinemático de tipo Argés-Guadamur.



MP-9226

Granitoide sincinemático de tipo Argés-Guadamur afectado por cizalla senestra tardihercínica.



MP-9227

Granitolde sincinemático de tipo Argés-Guadamar migmatizado. Mismo afloramiento de la anterior.



MP-9228

Granitoide sincinemático de tipo Argés-Guadamar, afectado
por M2



MP-9229

Granitoide porfídico sincinemático de tipo Argés-Guadamur.



MP-9230

Granitoide sincinemático de tipo Argés-Guadamar, no porfídico, migmatizado por M2, con generación de removilizados. Mismo afloramiento que la anterior.



MP-9231

Granitoide inhomogéneo biotítico-cordierítico con agregados de cuarzo.



MP-9232

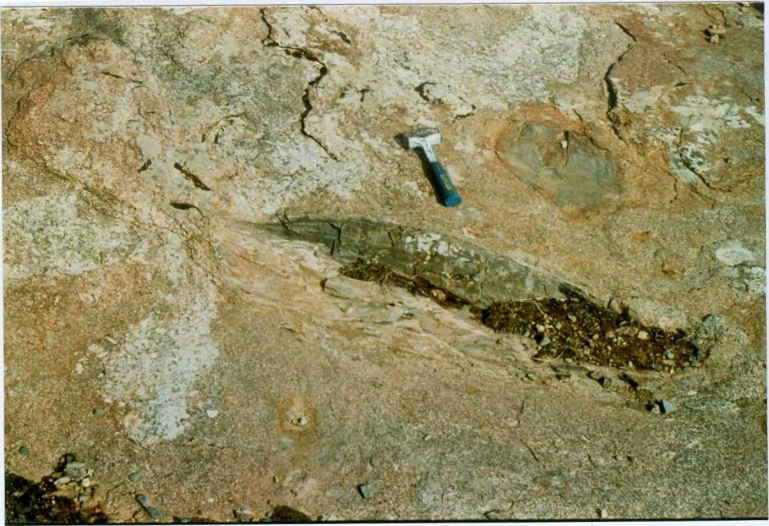
MP-9232

Granitoide inhomogéneo biotítico-cordierítico con agregados de cuarzo, alterado.



MP-9233

Idem anterior.



MP-9234

Granitoide inhomogéneo biotítico-cordierítico con enclaves metasedimentarios. Mismo afloramiento de la anterior.



MP-9235

Detalle del enclave metasedimentario de la fotografía anterior.



MP-9236

Enclave de ortoneis biotítico bandeados con glándulas de feldespato, en granitoide inhomogéneo biotítico-cordierítico. Mismo afloramiento de la anterior.



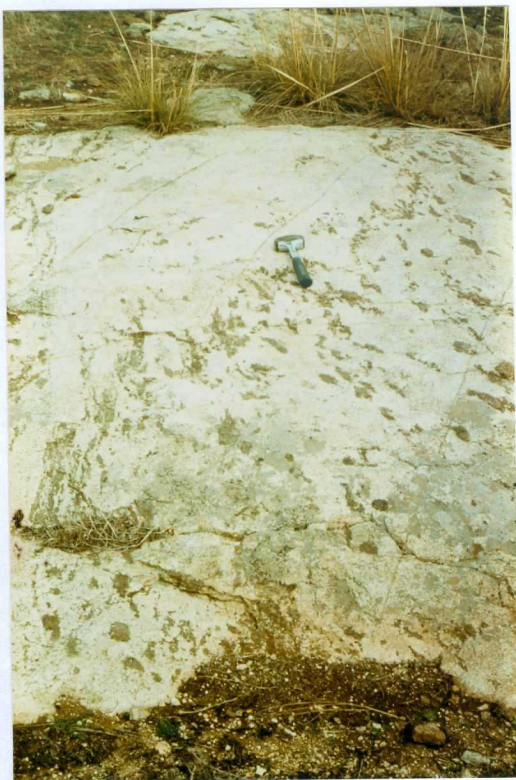
MP-9237

Diferenciados leucocráticos dentro del granitoide inhomogéneo biotítico-cordierítico. Mismo afloramiento de la anterior.



MP-9238

Migmatitas bandeadas relacionadas con los granitoides inhomogéneos biotítico-cordieríticos.



MP-9239

Leucogranitoides inhomogéneos con agregados orientados de granate y cordierita, relacionados con el granitoide inhomogéneo biotítico- -cordierítico.



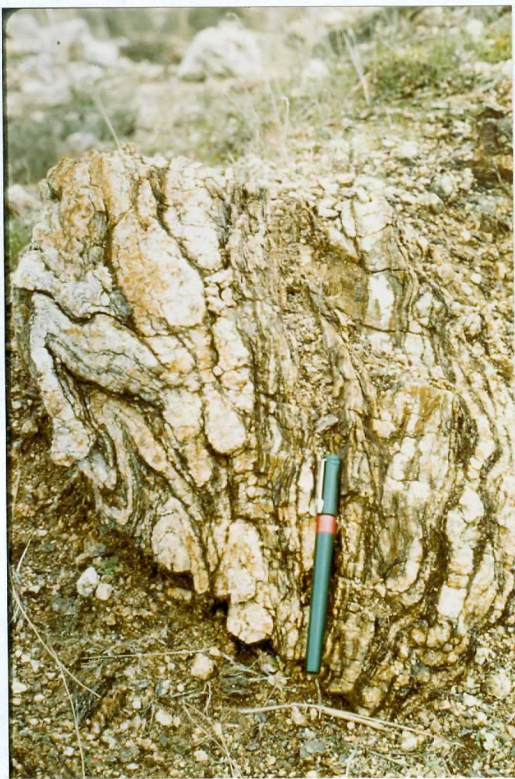
MP-9240

Detalle de la fotografía anterior.



MP-9241

Metasedimentos migmatizados.



MP-9242

Ortöneiseses biotíticos bandeados intercalados en los orto-neises metagraníticos leucocráticos plegados por pliegues posiblemente de D3.

MP-9243

Ortoneis, biotítico, glandular, migmatizado.





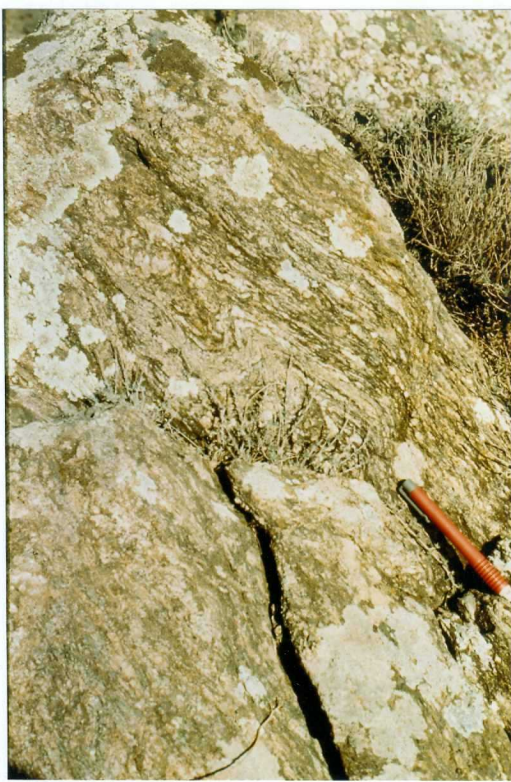
MP-9244

Ortöneis, biotítico, bandeado migmatizado.



MP-9245

Ortöneises biotíticos y glandulares.



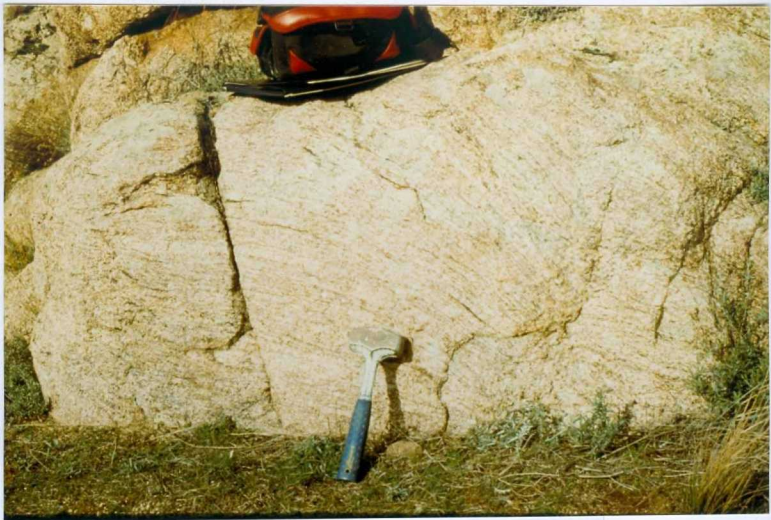
MP-9246

Enclave en granitoide inhomogéneo biotítico-cordierítico de ortoneis biotítico bandeados con glándulas de feldespato, plegado por pliegues probablemente de D3.



MP-9247

Ortöneises metagraníticos leucocráticos con glándulas dispersas.



MP-9248

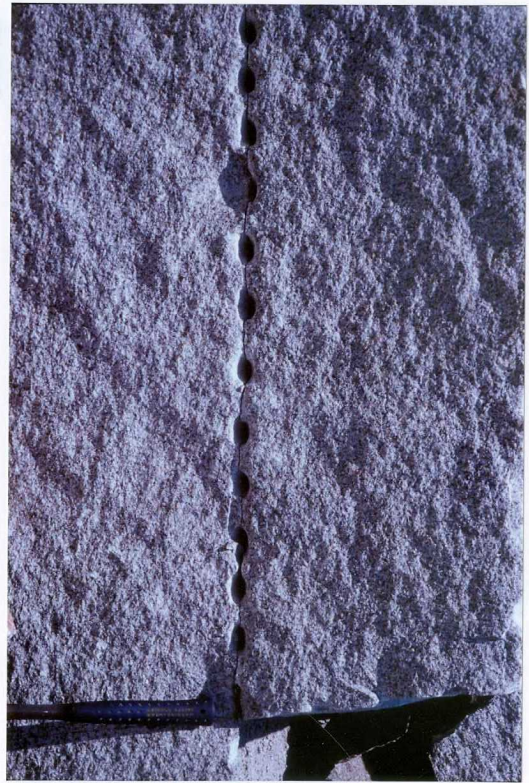
Ortoneis metagranítico leucocrático con granate y alguna glándula dispersa de feldespato.



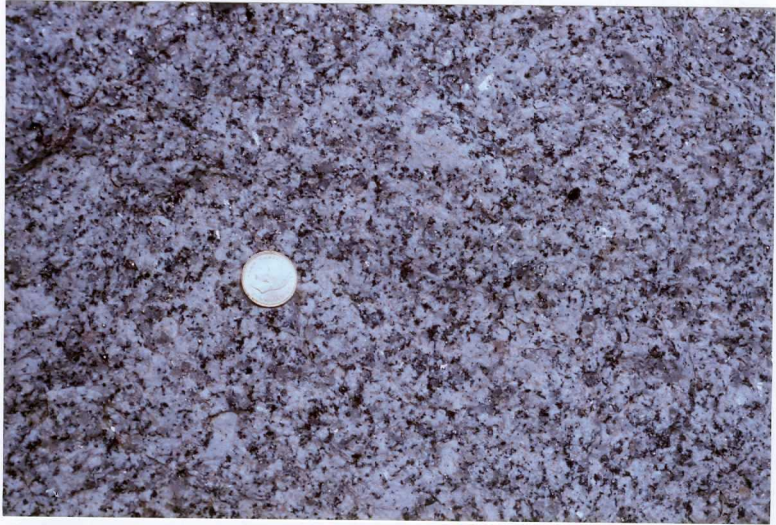
MP-9249

Ortöneis metagranítico leucocrático, con laminación mineral definida por la orientación de agregados de biotita y granate.

SC 9286



Pequeña cantera en el granito (monzogranito) tipo Mora-Menasalbas en proximidades de Orgaz (W de la finca Dehesa de Villaverde). Observar la ausencia de megacristales y el tamaño medio eqüigranular.



SC 9287

Detalle del granito (monzogranito) biotítico con megacristales tipo Mora-Menasalbas (afloramiento al SE de Pulgar).



EC 9288

Granito (monzogranito) biotítico con megacristales feldespato-K (tipo Mora-Menasalbas) al NE de Sonseca (Caserío de los Palacios, muestra EC 9238).



EC 9289

Detalle del granito (monzogranito) biótico con megacristales de feldespato-K (tipo Mora-Menasalbas) en el que se observan megacristales y un pequeño dique aplítico N70°E (muestra EC 9230).



EC 9290

Granito (monzogranito) biotítico porfidico (tipo Chueca) con orientación de megacristales de feldespato-K entre N100-140°E.



EC 9291

Granito (monzogranito) biotítico porfídico (tipo Chueca) con orientación de megacristales de feldespato-K entre N100-140°E.



EC 9292

Granito porfídico de grano fino-medio aflorante dentro del granito porfidico de Chueca. Observese la disposición de superficies de flujo de la mesostasis y/o megacristales según N140°-160°E (muestra EC 9226).



EC 9293

Granito porfídico de grano fino-medio aflorante dentro del granito porfídico de Chueca. Observese la disposición de superficies de flujo de la mesostasis y/o megacristales según N140°-160°E (muestra EC 9226).



SC 9294

Leucogranito moscovítico, ± biotita, ± cordierita, ± granate, ± turmalina (Tipo Cerro Torcón). Obsérvese la alternancia marcada por una variación textural de niveles microgranulosos y de grano fino (muestras SC 9262, 9263, 9264). Afloramiento situado al SE de Pulgar.



EC 9295

Leucogranito moscovíticos, ± biotita, ± cordierita, ± granate, ± turmalina (Tipo Cerro Torcón). Obsérvese la presencia de cavidades miarolíticas llenas de cuarzo, micas, turmalina y feldespatos. Localmente aparecen variaciones texturales micropegmatoides.



EC 9296

Idem a la anterior en la que se aprecia un detalle de una de las cavidades miarolíticas con cuarzo prismáticos y placas de moscovita (muestra EC 9233), al NE de Sonseca.



SC 9297

Vista panorámica del afloramiento de leucogranitos (Tipo Ceno Torcón) situado en la inmediaciones de Mazarambroz. La foto pertenece a la parte Sur del afloramiento, y en ella puede observarse el tipo de yacimiento estratoide-tabular de estos leucogranitos intruidos en los granitos (monzogranitos) biotíticos (Tipo Mora-Menasalbas). El contacto es neto a través de una pequeña zona milimétrica a centimétrica difusa, según las dimensiones del cuerpo. En este afloramiento el contacto sigue prácticamente la curva de nivel por lo que se trata de una "tabla" subhorizontal sobre los monzogranitos.



EC 9298

Dique de pórfido granítico (N90-100°E) en el que se aprecian fenocristales de feldespato-K orientados seg\xfbin la direcci\xf3n del dique.



SC 9299

Vista general hacia el Norte, del resalte (Cerro del Guijo) que produce el filón de cuarzo de dirección N50°E al W de Mazarambroz. Al fondo a la derecha el Cerro de Layos (1084 m) constituido por materiales del Paleozoico Inferior.



EC 9300

Vista detallada del filón de cuarzo de la foto anterior (Cerro del Guijo). La potencia del filón es de 30 m.